

## 不完全貫入井からの揚水試験について

岐阜大学工学部 正会員 宇野 尚雄

### 1. まえがき

現地で土の透水係数と貯留係数をそのままの状態で測定するのに現地揚水試験がしばしば実施される。揚水試験は定常状態より非定常状態の方が貯留係数が求まるほか、短時間で済むなど利点がある。非定常揚水の本理は次の仮定の下で Theis や Jacob の解が求められている。(1) 滞水層は均質。等方である。(2) 滞水層は無限の広がりをもつ領域である。(3) 井戸は完全貫入している。(4) 井戸半径は無限小である。(5) 滞水層定数は時間的空間的に一定である。(6) 揚水による水面傾度は過大でない。

図-1(a)は Theis の解と Jacob の直線解を併記したものである。(b)は試験地点近傍の滞水層内に不透水壁が存在するとき、観測井ごとにずれが生じることを示し、(c)は滞水層に給木やろう木があるときに生じる関係である。(d)は(c)と類似するが長時間後に水位低下が再度進む形式をとり、重力井戸の場合で貯留係数が時間的に変化することによる。(e)は木理干渉源(補給水層)が比較的遠方の場合である。(f)過剰揚水の場合に生じ、(g)は初期水位補正が必要な場合、(h), (i)は揚水井側壁に木頭損失がある場合、木理干渉を受けている場合、地層が複雑な場合などの複合条件下でみられ、詳細を検討を要する水位低下関係である。

本文は上記仮定(3)の貫入度の影響について考察したものである。

### 2. 井戸の貫入度

図-2を参照して、井戸の貫入度 $P$ を次式で定義する。

$$\text{重力井戸: } P = d/H \quad (1)$$

$$\text{掘抜井戸: } P = d/D \quad (2)$$

すなはち、図-2の $d$ の部分はストレーナーが切ってあるものとする。

### 3. 不完全貫入井からの揚水試験

貫入度が1にまるよう完全貫入させると解析上有問題を生じない。しかし、実際の滞水層の層厚 $H$ や $D$ がきわめて大きいとか、場合によっては滞水層の下の不透水境界面が深くて、ボーリング調査などで判明していないときなど不完全貫入あるいは不明という場合が生じる。

このような場合、滞水層の厚さを $d$ として、井戸は完全貫入しているとみなして便宜的に解析するのである。こうすると、実際には井戸下端以深の層からも揚水しているため、流量は層厚 $d$ の部分だけから揚水していると考えたときのものよりも多い流量を読み上げていいことになる。井戸理論に現われる式は揚水流量が透水係数と比例する關係になつていていため、上述の揚水試験解剖結果から得られる透水係数は過大に算出することになる。そこで真の透水係数を得るために、ある底減係数 $\alpha$ (1以下)を上述の透水係数に乗じてやる必要がある。

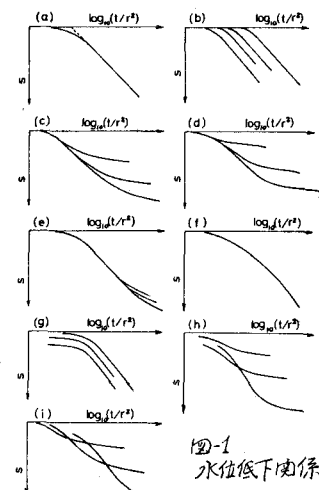


図-1  
水位低下関係

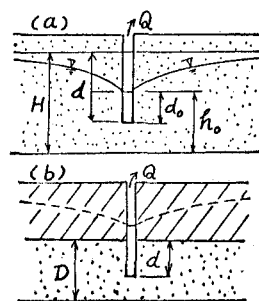


図-2 井戸の貫入度

低減係数 $\alpha$ が貫入度 $P$ などの関数となることは当然であろう。不完全貫入井からの揚水流量については数々の研究があるが、重力井戸に対する Boreli の式、掘抜井戸に対する Muskat の式は

$$\text{重力井戸: } Q_p = \frac{\pi R(d^2 - d_o^2)}{\ln(R/r_o)} \cdot [1 + (0.30 + 0.10 r_o/H) \cdot \sin(1.8 \frac{D_o}{H})], D_o = H - d \quad (3)$$

$$\text{掘抜井戸: } Q_p = 2\pi k \Delta H / \left[ \frac{1}{2D} \left\{ 2 \ln\left(\frac{4D}{r_o}\right) - \ln\left(\frac{I^2(0.875d)I^2(0.125d)}{I^2(1-0.875d)I^2(1-0.125d)}\right) \right\} - \ln\left(\frac{4D}{R}\right) \right] \quad (4)$$

Muskat によれば  $\alpha \sim P$  の関係は図-3 のようである。重力井戸については圓滑化されていながら、式(3)および上述したことから次式が得られる。

$$\alpha = 1 / \{ 1 + [0.30 + 10(r_o/H)] \cdot \sin[1.8(1-P)] \} \quad (5)$$

式(5)で  $r_o = 15 \sim 50 \text{ cm}$ ,  $H = 10 \text{ m}$  とみなしして数種類のケースについて  $\alpha \sim P$  関係を計算すると、図-4 のようである。図-3 と図-4 を比較すれば明らかのように、重力井戸では  $P < 30\%$  で  $\alpha$  はほぼ一定に近いが、 $P$  の増加とともに漸増するのに対して、掘抜井戸では  $P$  の約 20% 以下の  $\alpha$  が漸変する関係となっていて、不圧地下水と被圧地下水の特徴的相違が現われている。従来、重力井戸に対しても Muskat の図-3 を便宜的に利用することがあるが、両者間に顕著な相違が認められるので今後改めねばならない。また不圧地下水の漏木層の不透水底面がきわめて深く、不明のときどの程度の低減を見積ればよいか問題であるが、図-4によれば  $P < 30\%$  の低減係数がほぼ一定となり、明確となる。式(5)によれば、 $P < 30\%$  のとき  $\alpha \approx 1 / \{ 1.29 + 9.8(r_o/H) \}$  で近似される。

参考文献 1) 宇野: 理地揚水試験における水位低下のパターン、岐大工学部研究報告、No.24, pp.13~23(1974), 2) M. Muskat : The Flow of Homogeneous Fluids through Porous Media, Edwards, pp. 96~97 (1946), 3) M. Boreli : Free-Surface Flow toward Partially Penetrating Wells, Trans. Am. Geophys. Union, Vol.36, No.4, pp.664~672(1955).

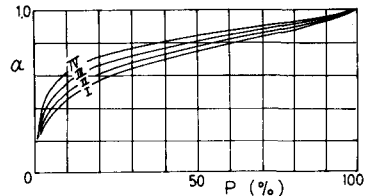


図-3 掘抜井戸の低減係数(漏木層の厚さ  $D$ : 15.24m(I), 22.86m(II), 38.10m(III), 60.96m(IV)) Muskat: 53

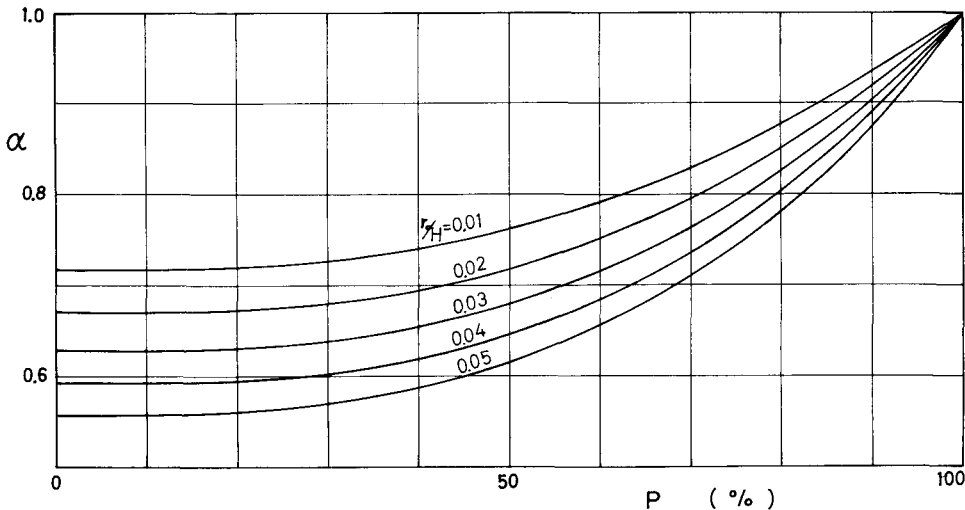


図-4 重力井戸の低減係数